

ریخت‌سنجه‌ی هندسی بال برای تعیین تنوع در جمعیت‌های زنبور عسل (*Apis mellifera meda*) در شمال غرب ایران

سمیرا بوالحسنی^۱، حسن رجبی‌مهرام^{۲*} و مرتضی نادری^۳

^۱ ایران، تهران، دانشگاه آزاد اسلامی واحد علوم و تحقیقات گروه محیط‌زیست

^۲ ایران، تهران، دانشگاه شهید بهشتی، دانشکده علوم و فناوری زیستی، گروه علوم و زیست‌فناوری جانوری

^۳ ایران، اراک، دانشگاه اراک، دانشکده کشاورزی و منابع طبیعی، گروه محیط‌زیست

تاریخ پذیرش: ۹۶/۱۱/۱۶ تاریخ دریافت: ۹۵/۷/۲۸

چکیده

شناسایی و مطالعه تنوع موجود در جمعیت‌های زنبور عسل یکی از اهداف مهم در اصلاح نژاد زنبور عسل محسوب می‌شود. این پژوهش بهمنظور مقایسه‌ی ویژگی ریخت‌شناسی جمعیت‌های زنبور عسل ایرانی در مناطقی از شمال غرب و غرب کشور با استفاده از روش ریخت‌سنجه‌ی هندسی به اجرا درآمد. برای این منظور زنبورهای کارگر از ۱۱۱ کلنی متعلق به چهار استان آذربایجان شرقی، آذربایجان غربی، اردبیل و همدان نمونه‌برداری شد. از بال جلویی زنبورهای عسل به شیوه استاندارد عکس-برداری شد و روی تصاویر دو بعدی حاصل بهمنظور استخراج داده‌های شکل بال، با روش ریخت‌سنجه‌ی تعداد ۱۹ لندهارک تعریف و رقومی شد. داده‌های لندهارک پس از آنالیز پردازی باستفاده از روش‌های آماری چندمتغیره‌ی PCA، CVA و CDA و آنالیز خوش‌های تحلیل گردیدند. نتایج به دست آمده نشان داد که جمعیت‌های زنبور عسل در امتداد آذربایجان شرقی به سمت آذربایجان غربی تفاوت‌های معنی‌داری را با توجه به تغییرات ایجاد شده در اقلیم و توپوگرافی نشان می‌دهند. هم‌چنین آنالیز تحلیل خوش‌های نشان داد که جمعیت استان اردبیل و همدان کمترین تفاوت و جمعیت استان‌های آذربایجان شرقی و غربی بیشترین تفاوت را از نظر شکل ظاهری باهم دارند.

واژه‌های کلیدی: صفات ریخت‌شناسی، تنوع زیستی، بال، زنبور عسل

* نویسنده مسئول، تلفن: ۰۲۱۲۹۹۰۲۷۲۵، پست الکترونیکی: h_rajabi@sbu.ac.ir

مقدمه

زیرگونه‌ها در مناطق مختلف اقلیمی به دلیل وجود شرایط مختلف اکولوژیک، خصوصیات متفاوتی را کسب می‌کنند و درواقع شرایط محیطی مختلف باعث تفاوت‌های بیولوژیک و مورفو‌بولوژیک در موجودات زنده و از جمله نژادهای زنبور عسل می‌شود (۳). حداقل ۲۹ زیرگونه براساس خصوصیات ریخت‌شناسی ازین زنبور عسل شناخته شده است. این زیرگونه‌ها را به چهار گروه تقسیم‌بندی می‌کنند که درستی آن‌ها با مطالعات ریخت‌شناسی، ژنتیک، همچنین آنالیزهای اکولوژیک،

زنبور عسل اروپایی، *Apis mellifera Linnaeus* 1758 در آفریقا، خاور میانه، خاور نزدیک و اروپا پراکنده شده است. علاوه‌بر پراکنش وسیع، این گونه نیچه‌های اکولوژیکی متنوعی از قبیل مناطق بیابانی، جنگل‌های بارانی گرم‌سیری، مناطق کوهستانی و باتلاق‌ها را اشغال کرده است (۱۷). به دلیل تنوع زیاد و اهمیت، زیرگونه‌های *Apis mellifera L.* به طور وسیعی مورد مطالعه قرار گرفته است (۱۰). تفاوت‌های مربوط به شرایط زیستی موجودات زنده اساس به وجود آمدن نژادها یا زیرگونه‌های متفاوت می‌باشد.

دریاچه Van تا Antalya (۱۶). محققان با استفاده از روش تجزیه به مؤلفه‌های اصلی (PCA) نشان دادند که توده‌ی زنبورعسل موجود در ایران همان زنبورعسل نژاد ایرانی (A. m. meda) است و از نژادهای اروپایی واردشده به ایران فاصله‌ی زیادی دارد، واردات نژادهای بیگانه درگذشته به دلیل پایداری نژاد ایرانی و عدم واردات ملکه تأثیر قابل‌لاحظه‌ای روی آن نگذاشته و این نژاد هویت خود را از دست نداده است و حتی در سال‌های اخیر نژاد ایرانی در مقایسه با نژادهای اروپایی فاصله بیشتری گرفته و در جهت ثبت نژادی، به خصوصیات واقعی خود نزدیک‌تر شده است (۴). برخی از محققین کلندی‌های نمونه‌برداری شده از استان اردبیل را مورد بررسی قرار دادند که گروه‌بندی جمعیت‌های استان اردبیل براساس صفات مورفولوژیک با روش تجزیه خوش‌های به روش حداقل واریانس وارد (WARD) چهار گروه مجزا را نشان داد؛ که براساس یافته‌های این پژوهش جدایی مورفولوژیک زنبورعسل ایرانی و نژادهای خارجی آن بهاثبات رسید؛ همچنین نژادهای واردشده به این منطقه شامل نژاد ایتالیایی و هیبرید استارالاین درگروه‌های کاملاً مجزا قرارگرفتند ولی نژاد میدنایت کاملاً از نژاد استارالاین مجزا نشد (۲). در پژوهشی دیگر کلندی‌های مربوط به استان‌های خراسان شمالی، گلستان، تهران، زنجان و آذربایجان غربی مورد بررسی قرارگرفت و در بررسی‌های آماری تک متغیره با انجام آزمون دانکن، تک‌تک خصوصیات ظاهری (۱۶) صفت) به طور مستقل بررسی شدند که نتایج نشان داد که طول خرطوم و طول پای عقبی از مؤثرترین خصوصیت متمایز‌کننده بین گروها است، همچنین نتایج آنالیزهای تک متغیره و چندمتغیره نشان داد که بیشترین میزان یک-دستی در زنبورهای منطقه خراسان‌شمالی و کمرتین آن مربوط به زنبورهای مناطق آذربایجان غربی بود (۱).

برای آشکارسازی تفاوت‌های ریختی، مطالعات ریخت-سنجدی هندسی به دلیل انعکاس تعامل محیط و گونه اهمیت بسزایی دارد (۵). روش ریخت-سنجدی هندسی یک

رفتاری و فیزیولوژیک نیز ثابت شده است: گروه A، که شامل زیرگونه‌هایی در سراسر آفریقا است؛ گروه M، که شامل زیرگونه‌هایی از اروپای غربی و شمالی است؛ گروه C، که شامل زیرگونه‌هایی از اروپای شرقی است؛ و گروه O، که شامل گونه‌هایی در ترکیه و خاورمیانه است (۱۶ و ۱۸). خاورمیانه و آسیا منطقه‌ای با تنوع بالای ریخت‌شناسی و تکامل برای زنبورهای عسل است و بسیاری از نژادها از این منطقه انشقاق یافته‌اند، که شامل تنوع بالای از زیست‌گاه‌ها می‌باشد، به نظر می‌رسد که آسیای صغیر، شامل آناتولی، مرکز ژنتیکی این زیرگونه‌های زنبور باشد. نژادهای زنبورعسل در این منطقه شامل زیرگونه‌های A. m. meda، A. m. caucasica، A. m. anatoliaca و A. m. syriaca می‌باشد که توسط روتز موردنظر قرارگرفتند و تشکیل یک شاخه‌ی مرکزی از گونه را دادند (۱۰). نام "Meda" اولین بار توسط A.S Skorikov به یک زنبورعسل در اتحاد جماهیر شوروی (USSR) نزدیک مرز Yellow ایران که متفاوت از زنبورعسل زرد قفقازی (transcaucasian bee tongue) بود داده شد که تنها "abdominal sternites" و "length" به عنوان توصیف این نژاد ثبت گردید که پراکندگی آن شمال ایران، Lencoran، واقع در دریایی خزر بود (۱۶).

اولین طبقه‌بندی جامع و تعیین نحوه‌ی توزیع زنبورعسل نژاد ایرانی توسط روتز و همکاران انجام شد؛ آنالیزهای چند متغیره بر روی داده‌های مورفومتریک به دست آمده از ۶۳ نمونه از سرتاسر ایران و ۱۴۲ نمونه از کشورهای همسایه شامل ترکیه، عراق، سوریه، لبنان، اسرائیل، اردن و قبرس نشان داد که تا حدودی در گروه‌های مختلف تداخل و همپوشانی وجود دارد، شش جمعیت محلی بهمنظور تفکیک A. m. meda درنظر گرفته شد: غرب و مرکز ایران (ارتفاعات آذربایجان - ایران)، سواحل نیمه گرمسیری دریایی خزر (مازندران)، شمال شرق ایران (مشهد) که به صورت یک گروه کاملاً مجزا درنظر گرفته شد، جنوب-شرقی ایران (کرمان)، عراق، جنوب شرقی آناتولی (از

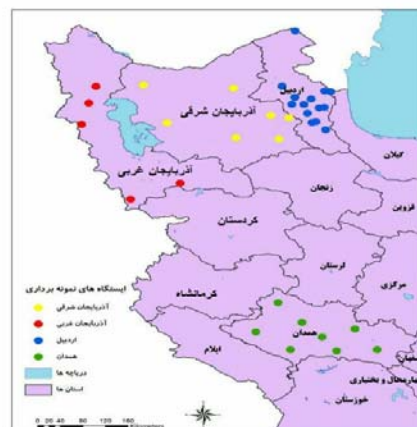
برای نمونه‌برداری از ظروف پلاستیکی دهان‌گشاد استفاده شد و زنبورهای کارگر جوان بالاختیاط از داخل هر کندو و از روی شانهای زنبور عسل در داخل بطری‌های پلاستیکی قرار داده و جهت مطالعه به آزمایشگاه منتقل شدند. سپس بال جلویی ۱۵۷ نمونه به دقت جدا شد و مدتی آن را در محلول الكل ۷۰ درصد قرار داده و سپس بال‌ها به ترتیب روی اسلامیدهای دوجداره چیده شدند تا پس از تبخیر الكل به اسلامیدها بچسبند. عکس‌برداری با استفاده از یک دوربین دیجیتال Casio14MP و استریومیکروسکوپ در شرایط استاندارد انجام شد.

روش‌های آماری و تجزیه و تحلیل داده‌ها: برای استخراج داده‌های شکل در روش ریخت‌سنگی هندسی تعداد ۱۹ لندمارک تعیین گردید (شکل ۲). لندمارک‌ها با استفاده از نرم‌افزار v2.16 TPS Dig (۲۰) بر روی تصاویر دو بعدی قرار داده شدند و مختصات نقاط آن‌ها به صورت طول (x) و عرض (y) در قالب یک فایل متنی تهیه شد. ابتدا بر روی نمونه‌ها به بررسی اثر آلومتری در نرم‌افزار PAST v2.17 (۱۱) پرداخته شد. سپس برای استخراج داده‌های شکل و حذف داده‌های غیرشکل شامل اندازه، موقعیت و جهت، جایگاه لندمارک‌ها با استفاده از تحلیل پروکراست (Generalized Procrustes Analysis) روی هم‌گذاری شدند. داده‌های حاصل از شکل بال جلویی نمونه‌ها ابتدا به منظور نشان دادن مهم‌ترین فاکتور در تغییرات شکل بال، با استفاده از تحلیل‌های چندمتغیره تجزیه به مولفه‌های اصلی (Principal Component Analysis)، که در آن با توجه به واریانس صفات، برای هریک از آن‌ها در هر مولفه ضریبی در نظر گرفته می‌شود و از دلالت ضرایب در اندازه‌ی صفات، نهایتاً وضعیت نژادها روی مولفه‌ی اول مشخص می‌شود. سپس مولفه‌های بعدی با استفاده از واریانس صفات به همان شکل و با اعمال ضرایب دیگری به دست می‌آید؛ ارزش نژادها در مولفه‌های مختلف، در واقع مختصات نژادهای مذکور در نمودارهایی است که با

روش مدرن نسبت به روش‌های سنتی است که در آن داده‌های لندمارک و خط سیر پیرامونی اطلاعات شکل ساختارهای زیستی را در قالب شکل استخراج می‌کند و به صورت گرافیکی به نمایش در می‌آورد (۲۱). علاوه بر این امکان تفسیر داده‌های این اشکال و آنالیز آماری آن‌ها به راحتی امکان‌پذیر است (۵). در مطالعه‌ی زنبورهای عسل آنالیز ریخت‌سنگی هندسی شکل بال دید وسیعی از صفات و شناسایی جمعیت‌ها و دودمان‌ها را فراهم می‌کند (۸، ۹ و ۲۰). از این‌رو با توجه به قابلیت بالای ریخت‌سنگی هندسی در جداسازی اشکال زیستی، این تحقیق باهدف مقایسه‌ی تغییرات رگبال‌های بال جلویی جمعیت‌های زنبور عسل ایرانی در مناطق مختلف با استفاده از روش ریخت‌سنگی هندسی انجام شد. در این پژوهش تلاش شده تا مشخص شود که آیا وضعیت جغرافیایی مناطق مورد مطالعه باعث تغییر خصوصیات مورفو‌لوزیک شده است یا خیر؟

مواد و روش‌ها

روش نمونه‌برداری و آماده‌سازی نمونه: در این بررسی تعداد ۱۵۷ نمونه زنبور کارگر از ۳۸ ایستگاه مختلف متعلق به استانهای آذربایجان غربی، آذربایجان شرقی، اردبیل و همدان در سال ۱۳۸۹ و ۱۳۹۱ جمع‌آوری شد (شکل ۱، جدول ۱).

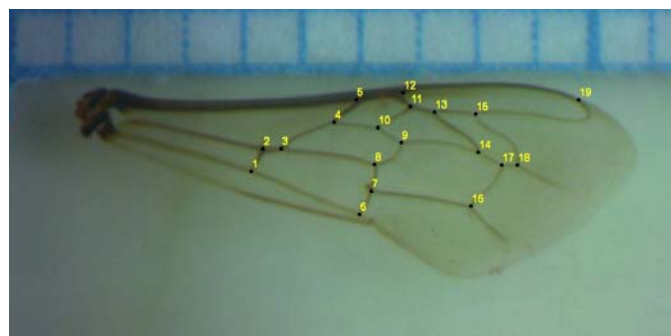


شکل ۱- موقعیت ایستگاه‌ها در استان‌های مورد مطالعه

استفاده از این مؤلفه‌ها ترسیم می‌شود، با استفاده از نرم‌افزار PAST v2.17 مورد آنالیز قرار گرفت.

جدول ۱- اطلاعات ایستگاه‌های نمونه‌برداری شده

| شماره | استان | شهرستان | ایستگاه | طول جغرافیایی | عرض جغرافیایی |
|-------|----------------|----------------|---|---------------|---------------|
| ۱ | اردبیل | گردنه حیران | روستای حیران، مابین استان‌های اردبیل و گیلان | ۴۸° ۳۶" | ۳۸° ۲۴' |
| ۲ | اردبیل | نمین | روستای دودران | ۴۸° ۳۰" | ۳۸° ۲۴' |
| ۳ | اردبیل | هیر | روستای حصار | ۴۸° ۲۵" | ۳۸° ۴' |
| ۴ | اردبیل | هیر | روستای حصار | ۴۸° ۲۵" | ۳۸° ۴' |
| ۵ | اردبیل | هیر | شهر هیر | ۴۸° ۳۰" | ۳۸° ۴' |
| ۶ | اردبیل | نیر | شهر کورایم | ۴۸° ۱۴" | ۳۷° ۵۷' |
| ۷ | اردبیل | پارس آباد مغان | شهر جعفر آباد | ۴۸° ۲" | ۳۹° ۳۸' |
| ۸ | اردبیل | اردبیل | روستای آراللو ایستگاه تحقیقات کشاورزی | ۴۸° ۱۷" | ۳۸° ۱۴' |
| ۹ | اردبیل | اردبیل | اطراف روستای سردابه | ۴۸° ۲" | ۳۸° ۱۶' |
| ۱۰ | اردبیل | اردبیل | روستای سردابه | ۴۸° ۲" | ۳۸° ۱۶' |
| ۱۱ | اردبیل | سرعین | روستای شایق، دامنه کوه سبلان | ۴۷° ۵۹" | ۳۸° ۸' |
| ۱۲ | اردبیل | سرعین | منطقه آوارس، دامنه کوه سبلان | ۴۷° ۵۹" | ۳۸° ۸' |
| ۱۳ | اردبیل | سرعین | منطقه حکیم قشلاقی | ۴۸° ۱۰" | ۳۸° ۸' |
| ۱۴ | اردبیل | مشکین شهر | لامرد، شیروان دره سی، دامنه کوه سبلان | ۴۷° ۴۹" | ۳۸° ۳۰' |
| ۱۵ | اردبیل | کوثر | روستای قره قشلاق | ۴۸° ۱۸" | ۳۷° ۴۶' |
| ۱۶ | اردبیل | کوثر | کرندق | ۴۸° ۲۲" | ۳۷° ۴۷' |
| ۱۷ | اردبیل | خلخال | اطراف شهر خلخال | ۴۸° ۳۱" | ۳۷° ۳۷' |
| ۱۸ | آذربایجان شرقی | اهر | اهر | ۴۷° ۳" | ۳۸° ۲۸' |
| ۱۹ | آذربایجان شرقی | سراب | روستای سنتیق | ۴۷° ۳۸" | ۳۷° ۵۴' |
| ۲۰ | آذربایجان شرقی | سراب | روستای سنتیق | ۴۷° ۳۸" | ۳۷° ۵۴' |
| ۲۱ | آذربایجان شرقی | هشتود | روستای علی آباد علیا | ۴۷° ۶" | ۳۷° ۲۷' |
| ۲۲ | آذربایجان شرقی | بستان آباد | روستای انباردان | ۴۷° ۵۶" | ۳۷° ۵۱' |
| ۲۳ | آذربایجان شرقی | آذرشهر | داخل شهر | ۴۶° ۰" | ۳۷° ۴۵' |
| ۲۴ | آذربایجان شرقی | مرند | منطقه یامچی، روستای آرباطان | ۴۵° ۳۷" | ۳۸° ۳۲' |
| ۲۵ | آذربایجان شرقی | میانه | روستای ارباط | ۴۷° ۴۷" | ۳۷° ۲۵' |
| ۲۶ | آذربایجان غربی | خوی | منطقه قوتربولی، روستای چاووش قلی، مجاور کوه‌های | ۴۴° ۵۲" | ۳۸° ۳۰' |
| ۲۷ | آذربایجان غربی | سلماس | روستای هفتاران | ۴۴° ۴۵" | ۳۸° ۱۰' |
| ۲۸ | آذربایجان غربی | ارومیه | جاده سرو، منطقه سرو | ۴۴° ۳۸" | ۳۷° ۴۳' |
| ۲۹ | آذربایجان غربی | بوکان | داخل شهر بوکان | ۴۶° ۱۲" | ۳۶° ۳۱' |
| ۳۰ | آذربایجان غربی | سردشت | روستای عباس آباد | ۴۵° ۲۵" | ۳۶° ۱۱' |
| ۳۱ | همدان | همدان | همدان | ۳۴° ۸۰" | ۴۸° ۵۲' |
| ۳۲ | همدان | نهاوند | دهنو | ۳۴° ۳۸" | ۴۸° ۱۶' |
| ۳۳ | همدان | توبیکان | آرتیمان | ۳۴° ۵۸" | ۴۸° ۴۵' |
| ۳۴ | همدان | کبودرآهنگ | کبودرآهنگ | ۳۴° ۳۸" | ۴۸° ۷۹' |
| ۳۵ | همدان | ملایر | میشین | ۳۴° ۱۶" | ۴۸° ۹۳' |
| ۳۶ | همدان | رزن | حکان | ۳۵° ۴۵" | ۴۹° ۱۳' |
| ۳۷ | همدان | رزن | سلطان آباد | ۳۴° ۳۰" | ۴۸° ۹۰' |
| ۳۸ | همدان | فامنین | اصله | ۳۵° ۱۵" | ۴۸° ۷' |



شکل ۲- نمایی از بال جلویی رقومی شده با ۱۹ لندمارک

جاگاه لندمارک‌های شماره‌ی ۱۵ و ۱۳ بود (شکل ۳). در تحلیل تجزیه همبستگی کانونی (CVA)، براساس فواصل Mahalanobis، با در نظر گرفتن سطح معنی‌داری کمتر از ۰/۰۵ عدم وجود تفاوت معنی‌دار بین گروه‌های مختلف نشان داده شده است (شکل ۴). فواصل Mahalanobis در جدول ۲ آورده شده است. که کمترین فاصله از نظر شکل بال بین جمعیت‌های استان‌های اردبیل و همدان و بیشترین فاصله را جمعیت استان آذربایجان غربی از استان آذربایجان شرقی و پس از آن جمعیت استان آذربایجان غربی از استان اردبیل داشت.

همچنین با استفاده از تابع تفکیک کانونی (CDA) درصد متنسب شان نمونه‌های استان اردبیل به گروه‌بندی پیش‌بینی شده ۶۵/۱ درصد، انتساب نمونه‌های استان آذربایجان غربی به گروه پیش‌بینی شده مربوطه ۸۸/۹ درصد، انتساب نمونه‌های استان آذربایجان شرقی به گروه پیش‌بینی شده خود ۸۸/۲ درصد و نهایتاً درصد متنسب شدن نمونه‌های استان همدان به گروه پیش‌بینی شده ۶۰/۸ درصد نشان داده شد. درمجموع، درصد صحیح انتساب افراد به گروه خودشان ۶۸/۲ درصد را نشان داد. عملکرد آزمون تفکیک کانونی (CDA)، با آزمون Wilks'Lambda ارزیابی شد که میانگین کلی از محاسبه‌ی درصد صحیح کسب شده در میان نمونه‌های منسوب شده به گروه پیش‌بینی شده خود و گروه‌های واقعی را فراهم می‌کرد. براساس نتایج به دست آمده، تحلیل داده‌ها با استفاده از معیار Sig ($P < 0/05$) حاکی از جدایی جمعیت‌های

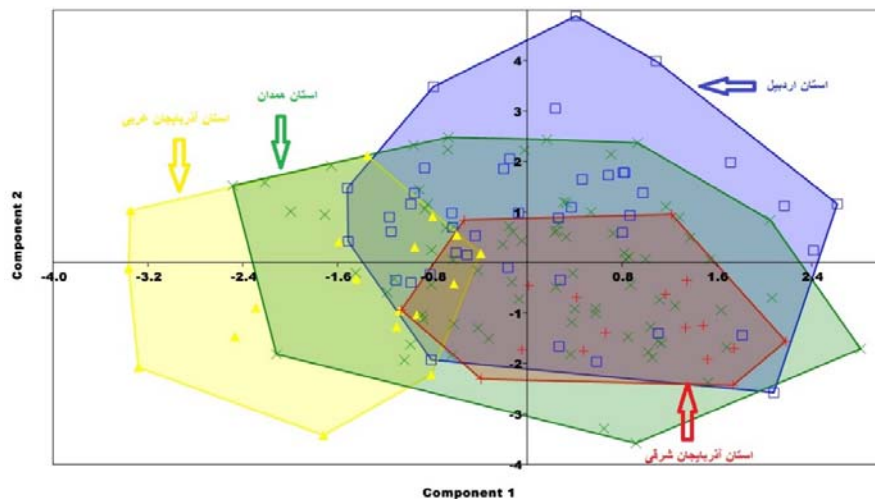
سپس آزمون تجزیه همبستگی کانونی (Canonical Variate Analysis)، بهمنظور تعیین اندازه رابطه‌ی بین دو مجموعه از متغیرها باستفاده از ضرایب افزونگی (درجه همپوشانی بین دو مجموعه متغیر) با استفاده از نرم‌افزار PAST v2.17 انجام شد، و پس از آن آزمون تابع تفکیک کانونی (Canonical Discriminant Analysis) که با آزمون Wilks'Lambda ارزیابی می‌شود که میانگین کلی از محاسبه‌ی درصد صحیح کسب شده در میان نمونه‌های منسوب شده به گروه پیش‌بینی شده خود و گروه‌های واقعی را فراهم می‌کند، نیز با استفاده از نرم‌افزار SPSS v22 (۱۴) مورد آنالیز قرار گرفت.

نتایج

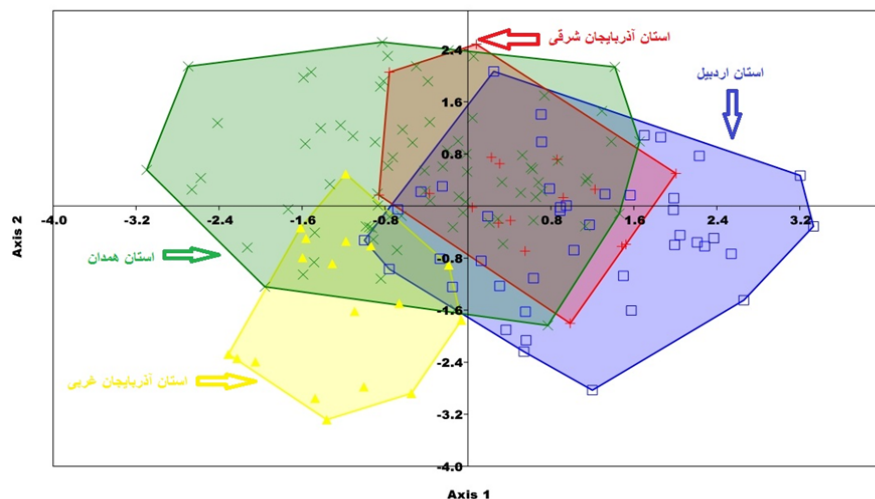
تحلیل تجزیه به مؤلفه‌های اصلی (PCA)، سه مؤلفه‌ی اصلی (PC) را بهمنزله مؤلفه‌های مؤثر تشخیص داد که سهم هرکدام از این مؤلفه‌ها از مقدار کل واریانس از مؤلفه‌ی اول تا مؤلفه‌ی سوم به ترتیب ۳۱/۰۱، ۴۶/۲۰ و ۲۲/۷۰ درصد بود. دو مؤلفه‌ی اصلی اول با مجموع واریانس ۷۷/۳۰ درصد بیشترین بار عاملی را به خود اختصاص داد. مقایسه‌ی ضریب Jolliffe cut-off با مقدار ۷/۱۴ و مقادیر ویژه مؤلفه‌های اصلی به ترتیب ۱۴/۱۳، ۹/۵۱ و ۶/۹۴ معنی‌داری دو مؤلفه‌ی اصلی اول و دوم را تائید و معنی‌داری مؤلفه‌ی اصلی سوم را رد کرد. مؤلفه‌ی اصلی اول (PC₁) مربوط به تغییر جایگاه لندمارک‌های شماره ۱۹، ۱ و مؤلفه اصلی دوم (PC₂) مربوط به تغییر

تحلیل خوش‌های براساس سترودئید گروه به صورت واضح نشان داد که جمعیت استان اردبیل و همدان کم‌ترین تمایز و استان‌های آذربایجان شرقی و غربی بیشترین تمایز را باهم دارند.

استان‌های آذربایجان شرقی و آذربایجان غربی می‌باشد (Sig=0.034) که این جدایی نسبت به جدایی جمعیت‌های استان‌های اردبیل و آذربایجان شرقی از معنی‌داری بیشتری برخوردار است (Sig=0).



شکل ۳- نمودارتجزیه به مولفه‌های اصلی PCA شکل بال چهار جمعیت زنبور عسل ایرانی مورد مطالعه



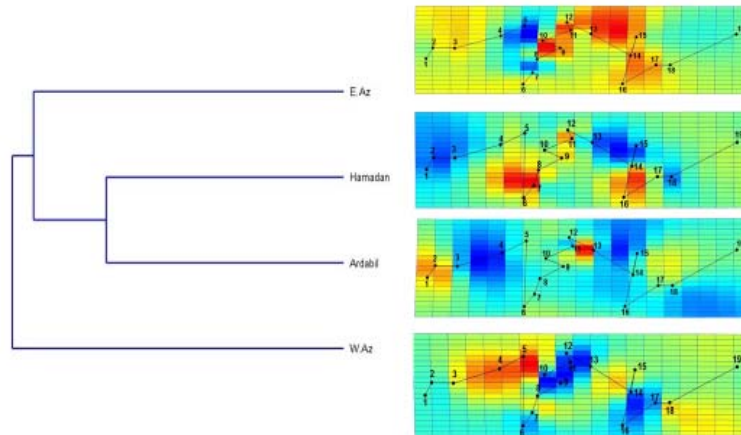
شکل ۴- نمودار CVA شکل بال چهار جمعیت زنبور عسل ایرانی مورد مطالعه

جدول ۲- فاصله‌ی Mahalanobis بین چهار جمعیت متعلق به ۴ استان مورد مطالعه

| همدان | آذربایجان شرقی | آذربایجان غربی | اردبیل | |
|-------|----------------|----------------|--------|----------------|
| ۳/۱۷ | ۳/۹۸ | ۶/۹۵ | - | اردبیل |
| ۵/۰۸ | کاملاً تمایز | - | ۶/۹۵ | آذربایجان غربی |
| ۳/۷۱ | - | کاملاً تمایز | ۳/۹۸ | آذربایجان شرقی |
| - | ۳/۷۱ | ۵/۰۸ | ۳/۱۷ | همدان |

غربی بیشترین تغییرات حول لندهارک شماره ۵، در استان آذربایجان شرقی بیشترین تغییرات حول لندهارک‌های شماره ۱۰، ۱۱ و ۱۳ و در استان همدان بیشترین تغییرات حول لندهارک شماره ۷ اتفاق افتاده است.

همچنین دو کلاد مجزا مشاهده شد که کلاد اول شامل جمعیت‌های استان‌های آذربایجان شرقی، استان همدان و استان اردبیل و کلاد دوم شامل جمعیت استان آذربایجان غربی بود. با توجه به شکل ۵ در استان اردبیل بیشترین تغییرات حول لندهارک شماره ۱۳، در استان آذربایجان



شکل ۵- نمودار تحلیل خوشای مربوط به تصاویر شکل بال مربوط به هر کلاد (رنگ‌های گرم: گسترش در حول نقاط لندهارک و رنگ‌های سرد: عدم گسترش)

می‌دهد. نتایج حاصل از آزمون MANOVA/CVA جمعیت استان‌های آذربایجان غربی و آذربایجان شرقی کاملاً از هم متمایز کرد و به طور واضح دو گروه مجزا را نشان داد. جمعیت دو استان آذربایجان غربی و اردبیل نیز همپوشانی کمی داشته و جدایی بارزی را نشان داد. محدوده پراکندگی جمعیت استان آذربایجان شرقی بیشترین همپوشانی را در درجه اول با استان اردبیل و در درجه دوم با استان همدان داشت. البته نتایج حاصل از آزمون CDA نیز جدایی بین جمعیت‌های استان‌های آذربایجان شرقی و آذربایجان غربی را تأیید نمود و نهایتاً آنالیز خوشای براساس ستون‌های گروه نتایج آزمون‌های فوق را تأیید کرد و نشان داد که جمعیت استان اردبیل و همدان کمترین تمایز و استان‌های آذربایجان شرقی و غربی بیشترین تمایز را از هم دارند. همچنین در تحلیل خوشای دو کلاد مجزا مشاهده شد که کلاد اول شامل جمعیت‌های استان‌های آذربایجان شرقی،

بحث

بررسی‌های ریخت‌سنگی هندسی جمعیت‌های موردمطالعه وجود اختلاف معنی‌داری را بین شکل بال جمعیت‌های مختلف نشان داد. نتایج تحقیق حاضر همچنین تا حدودی رابطه مستقیم بین فاصله‌ی جغرافیایی و تمایز ریختی را نشان داد. نتایج حاصل از آزمون PCA نشان داد که جمعیت استان آذربایجان غربی و استان آذربایجان شرقی همپوشانی بسیار کمی با یکدیگر داشته و جدایی تقریباً بارزی را نسبت به یکدیگر نشان می‌داد. جمعیت استان آذربایجان غربی با جمعیت استان همدان همپوشانی تقریباً بیشتری نسبت به همپوشانی جمعیت استان آذربایجان غربی با سایر جمعیت‌ها دارد. همچنین محدوده پراکندگی جمعیت استان آذربایجان شرقی با جمعیت‌های دو استان اردبیل و همدان همپوشانی بسیار بالایی دارد که عدم معنی‌دار بودن تفاوت شکلی را در این سه منطقه نشان

موهای روی بدن آنها افزایش می‌یابد (۱۲ و ۱۵). در بررسی دیگری پژوهشگران نشان دادند که از لحاظ مورفولوژیکی جمعیت‌های زنبور عسل متعلق به مناطق پست از سایر جمعیت‌های زنبور عسل متعلق به مناطق مرتفع کوچکتر هستند (۱۳). در این پژوهش نیز همان‌طور که از نتایج حاصل از ریخت‌سنگی هندسی مشخص شد مانند نتایج سایر پژوهش‌ها و قانون برگمن زنبورهای عسل استان اردبیل نسبت به زنبورهای عسل استان همدان به دلیل شرایط آب و هوایی سردر و قرارگرفتن در عرض جغرافیایی بالاتر، نسبتاً بزرگ‌تر می‌باشد. همچنین در مطالعه‌ای محققین دریافتند که کمترین میزان یکدستی مربوط به زنborهای مناطق آذربایجان غربی می‌باشد (۱) که احتمالاً دلیل آن ترکیب پیچیده‌ی جغرافیای طبیعی شمال غرب ایران از کوههای مرتفع، ناهارواری‌ها و دشت‌های باز است. تنوع اقلیمی و جغرافیایی، به‌ویژه وجود مناطق گستره‌ی کوهستانی و مرتفع در منطقه سبب گردیده است که نواحی فیزیوگرافیک متنوع و با ویژگی‌های منحصر به‌فرد در این بخش از کشور شکل گیرد و این تنوع سبب گردیده است که تنوع زیستی منطقه نیز قابل توجه باشد، چنانچه در این پژوهش نیز جدایی جمعیت‌های آذربایجان غربی از سایر جمعیت‌ها از اهمیت بیشتری برخوردار است.

در مطالعه حاضر، تفاوت‌های مشاهده شده به‌خصوص در صفات ریخت‌شناسی در مناطق مطالعه شده که از نظر جغرافیایی به‌هم مرتبط هستند، ممکن است نشان‌دهنده ویژگی‌های خاص زیستگاه باشند که موجود نسبت به آن سازش پیداکرده است. اما در مجموع تنها با استناد به ویژگی‌های ریخت‌شناسی نمی‌توان حوادث بوم‌شناسی و ارتباط‌های میان جمعیت‌ها را مشخص نمود. استفاده از سایر روش‌های شناسایی جمعیت‌ها به‌ویژه استفاده از نشانگرهای رئنیکی می‌تواند در فهم و درک بهتر تنوع درون‌گونه‌ای جمعیت‌های زنبور عسل مؤثر باشد.

استان همدان و استان اردبیل و کلاد دوم شامل جمعیت استان آذربایجان غربی بود.

دو عامل، الگوهای تاریخی جمعیت‌های جدایی و انطباق با محیط فعلی می‌تواند باعث تنوع در مورفولوژی، رفتار، زیست‌شناسی جمعیت و سایر ویژگی امروزی زنborهای عسل در مناطق جغرافیایی متعدد گردد. محققین در پژوهشی در برخی نواحی استان اردبیل علت جدایی بین دو جمعیت را عدم کوچ و علت شbahat دو جمعیت را مهاجرت دانستند (۶) با توجه به نتایج حاصل احتمال داده می‌شود که این الگوی به‌دست‌آمده به علت مسیر انتخابی کوچ زنborهای عسل می‌باشد. زنborهای عسل نمونه‌برداری شده از ایستگاه‌های انتخابی واقع در استان آذربایجان غربی بیشترین کوچ را به نقاط جنوبی‌تر ایران داشته و علت شbahat ریختی بیشتر آن‌ها با زنborهای نمونه‌برداری شده از استان همدان می‌تواند در ارتباط قرار گرفتن زنborهای عسل دو منطقه باشد. همچنین زنborهای نمونه‌برداری شده از استان آذربایجان شرقی بیشتر مسیر کوچ در داخل استان آذربایجان شرقی و بعضاً به آستارا واقع در استان گیلان و زنborهای عسل استان اردبیل بیشتر مسیر مهاجرت به نقاط شمالی کشور و شرق استان اردبیل را داشته‌اند. امکان مهاجرت بین زنborهای عسل استان آذربایجان غربی و شرقی به علت عوامل جغرافیایی از قبیل حضور دریاچه ارومیه و همچنین عدم تفاوت زیاد شرایط آب و هوایی بین دو منطقه، تقریباً کم است و این تفکیک ریختی می‌تواند نتیجه‌ی آن باشد.

ارتفاع محل زیست روی صفات مربوط به‌اندازه بدن مثل طول بال، اندازه زوایای بال، طول رگبال‌ها و اندازه غدد موسم‌ساز تأثیر می‌گذارد، به‌طوری‌که در ارتفاعات پایین‌تر و هوای خشک و گرم اندازه صفات مذکور کاهش می‌یابد (۷). علاوه بر این مشخص شده است که شرایط اقلیمی و ارتفاع روی صفات ظاهری تأثیر می‌گذارد و با افزایش ارتفاع محل زیست زنborها، طول بدن و طول

منابع

۱. پری‌چهره، ش.، نادعلی، ر.، و بابایی، م.، ۱۳۹۵. بررسی برخی خصوصیات مورفولوژیک زنبور عسل معمولی در ایران. مجله علوم و فنون کشاورزی و منابع طبیعی، جلد ۲ شماره ۱، صفحات ۸۹-۱۰۱.
۲. طهماسبی، غ.، عبادی، ر.، اسماعیلی، ر.، و کامبوزیا، ج.، ۱۳۷۵. مطالعه مورفولوژیک زنبور عسل معمولی در ایران. مجله علوم و فنون کشاورزی و منابع طبیعی، جلد ۲ شماره ۱، صفحات ۸۹-۱۰۱.
۳. طهماسبی، غ.، عبادی، ر.، اسماعیلی، م.، و کامبوزیا، ج.، ۱۳۷۷. مطالعه مورفولوژیک زنبور عسل معمولی (*Apis mellifera L.*) در ایران، علوم کشاورزی و منابع طبیعی، جلد دوم، شماره اول، صفحات ۸۸-۱۰۲.
4. طهماسبی، غ.، عبادی، ر.، اسماعیلی، م.، و کامبوزیا، ج.، ۱۳۷۷. مطالعه مورفولوژیک زنبور عسل معمولی (*Apis mellifera L.*) در ایران، علوم کشاورزی و منابع طبیعی، جلد دوم، شماره اول، صفحات ۸۸-۱۰۲.
5. Adams, D. C., Rohlf, F. J., and Slice, D. E., 2004. Geometric morphometrics: ten years of progress following the 'revolution'. *Italian Journal of Zoology*, 71(1), PP: 5-16.
6. Dadkhah, M., Zahri, S., and Asghari, A., 2008. Genetic variation analysis between *Apis mellifera* populations in Ardabil province using Microsatellite marker. The 2nd National congress of Cellular and Molecular Biology Proceeding, Kerman, Iran, PP: 576-578.
7. Daly, H. V., Hoelmer, K., and Gambino, P., 1991. Clinal geographic variation in feral honey bees in California, USA [Bergmann's rule]. *Apidologie* (France). 22(6), PP: 591-609.
8. Francoy, T. M., Wittmann, D., Drauschke, M., Müller, S., Steinhage, V., Bezerra-Laure, M. A., Jong, D. D., and Gonçalves, L. S., 2008. Identification of Africanized honey bees through wing morphometrics: two fast and efficient procedures. *Apidologie*, 39(5), PP: 488-494.
9. Francoy, T. M., Wittmann, D., Steinhage, V., Drauschke, M., Müller, S., Cunha, D. R., and Arias, M. C., 2009. Morphometric and genetic changes in a population of *Apis mellifera* after 34 years of Africanization. *Genet. Mol. Res.*, 8(2), PP: 709-717.
10. Gupta, R. K., 2014. Taxonomy and Distribution of Different Honeybee Species. In Beekeeping for Poverty Alleviation and Livelihood Security, PP: 63-103. Springer Netherlands.
11. Hammer, O., 2012. PAST: Paleontological Statistics Version 2.17. Retrieved December 27, 2013 from University of Oslo. Natural History Museum., <http://www.nhm2.uio.no/norlex/past/pastman.ual>.
12. Meixner, M. D., Sheppard, W. S., and Poklukar, J., 1993. Asymmetrical distribution of a mitochondrial DNA polymorphism between 2 introgressing honey bee subspecies. *Apidologie*, 24, PP: 147-147.
13. Moradi, M., and Kandemir, I., 2004. Morphometric and allozyme variability in Persian bee population from the Alburz Mountains, Iran. *Iranian International Journal of Science*, 5(2), PP: 155-161.
14. Nie, N. H., Bent, D. H., and Hull, C. H., 1970. SPSS: Statistical package for the social sciences (No. HA29 S6). New York: McGraw-Hill.
15. Ruttner, F., Tassencourt, L., and Louveaux, J., 1978. Biometrical-statistical analysis of the geographic variability of *Apis mellifera L.* *Apidologie*, 9(4), PP: 363-381.
16. Ruttner, F., 1988. Biogeography and taxonomy of honeybees Springer. Berlin, Germany. PP: 284.
17. Smith, F. G., 1961. The races of honeybees in Africa. *Bee World*, 42(10), PP: 255-260.
18. Sheppard, W., and Meixner, M., 2003. *Apis mellifera pomonella*, a new honey bee subspecies from Central Asia. *Apidologie*, 34(4), PP: 367-375.
19. Rohlf, F. J., 2010. TpsDig, version 2.16, Software. Department of Ecology and Evolution. State University New York. Stony Brook.
20. Tofilski, A., 2008. Using geometric morphometrics and standard morphometry to discriminate three honeybee subspecies. *Apidologie*, 39(5), PP: 558-563.

21. Zelditch, M., Swiderski, D., Sheets, D. H., and Fink, W., 2004. Geometric Morphometrics for Biologists: A primer. Elsevier Academic Press. Waltham, MA. PP: 488.

Wing geometric-morphometric analysis to determine the population diversity of Iranian honey bee (*Apis mellifera meda*) in Northwest of Iran.

Bolhasani S.¹, Rajabi maham H. and Naderi M.³

¹ Environmental Sciences Dept., Azad University of Research and Science, Tehran, I.R. of IRAN

² Animal Sciences and Biotechnology Dept., Faculty of Life Sciences and Biotechnology, Shahid Beheshti University, Tehran, I.R. of Iran

³ Environmental Sciences Dept., Faculty of Agriculture and Natural Resources, Arak University, Arak, I.R. of Iran

Abstract

The identification and study of genetic diversity in honey bee populations is one of the most important goals in breeding of bees. This study is conducted to compare the morphological characteristics of the Iranian honeybee populations in areas of the North West and West of Iran using geometric morphometric. For this purpose, worker bees were sampled from 111 colonies belonging to the four provinces of East Azerbaijan, West Azerbaijan, Ardebil and Hamedan. The front wings of the bees were photographed in standard mode and to extract the wing shape data 19 landmarks were digitalized and defined by morphometric method on the two-dimensional images. Landmark data were analyzed after the Procrustes analysis by multivariate statistical methods of PCA, CVA CDA and cluster analysis. The obtained results showed that the bee populations present significant differences with respect to changes in climate and topography along the East Azerbaijan to the West Azerbaijan. Also the cluster analysis showed that the populations of Ardebil and Hamedan have the least and the populations of the West Azerbaijan and East Azerbaijan have the most difference in terms of their appearance.

Key words: morphological traits, biological diversity, wings, honey bees